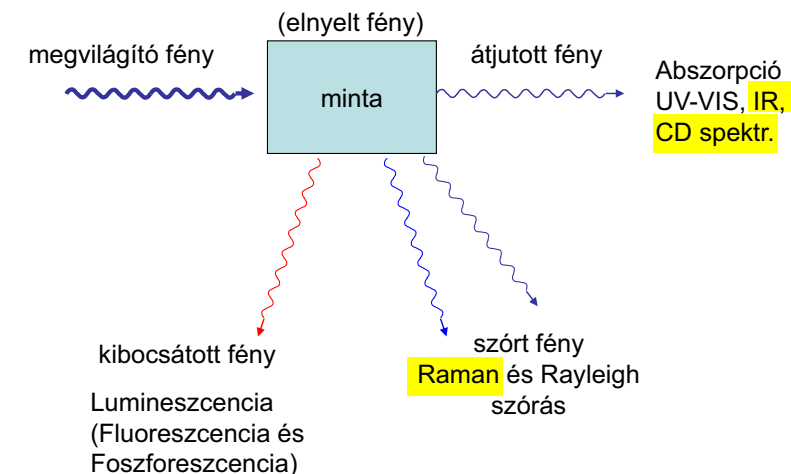


Makromolekulák szerkezetvizsgálati módszerei: IR, CD

Smeller László

2017

Mi történhet, ha egy mintát fénnyel világítunk meg?



Abszorpciós és emissziós spektroszkópia

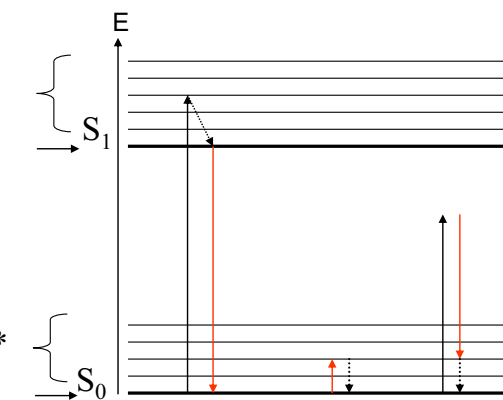
- Az átjutott vagy kibocsátott fény analizálása a hullámhossz függvényében.
- Információ:
 - atomok, molekulák azonosítása,
 - molekuláris szintű szerkezetváltozások (konformációváltozások) detektálása,
 - koncentráció meghatározás

Miért nyel el ill. bocsát ki fényt egy atom v. molekula?

- Energiaátmenet: Id. Jablonski diagram

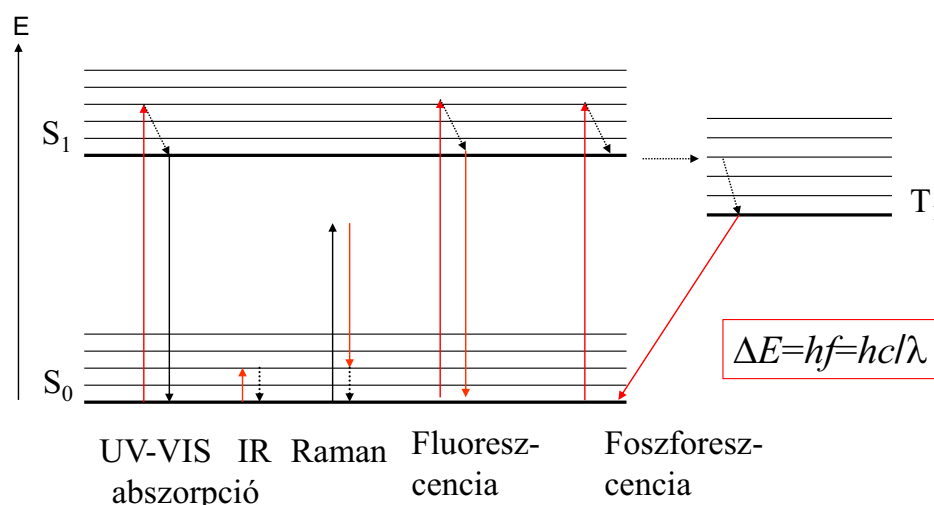
Gerjesztett elektron- és vibrációs állapot*
Gerjesztett elektronállapot

Vibrációsan gerjesztett áll.*
Alapállapot



*csak molekuláknál!

Miért nyel el ill. bocsát ki fényt egy atom v. molekula?



Abszorpciós spektroszkópia Abszorpciós törvény

The diagram shows a rectangular medium of thickness x with an initial intensity J_0 entering from the left. The intensity decreases to J after passing through the medium. A small vertical slice of width dx is highlighted at position x , with intensities J and $J + dJ$.

$$\left. \begin{array}{l} dJ \propto J \\ dJ \propto dx \end{array} \right\} dJ = -\mu J dx$$

$$\frac{dJ}{J} = -\mu dx$$

$$\int \frac{dJ}{J} = \int -\mu dx$$

$$\ln J = -\mu x + \text{const}$$

$$J = J_0 e^{-\mu x}$$

Abszorpciós spektroszkópia Lambert-Beer törvény

Elvi alapja: abszorpciós törvény: $J = J_0 \cdot e^{-\mu x}$
ahol μ (anyag, c , λ)

- Lambert-Beer törvény:

$$A = \lg \frac{J_0}{J} = \varepsilon(\lambda) cx$$

• spektrum: $A(\lambda)$

• mérés: spektrofotométer

• referencia oldat (J_0)

• információ: azonosítás koncentráció.

A graph showing absorbance A on the y-axis and concentration c on the x-axis. The curve starts at a non-zero value for zero concentration and decreases exponentially towards zero as concentration increases.

UV-VIS abszorpciós spektroszkópia

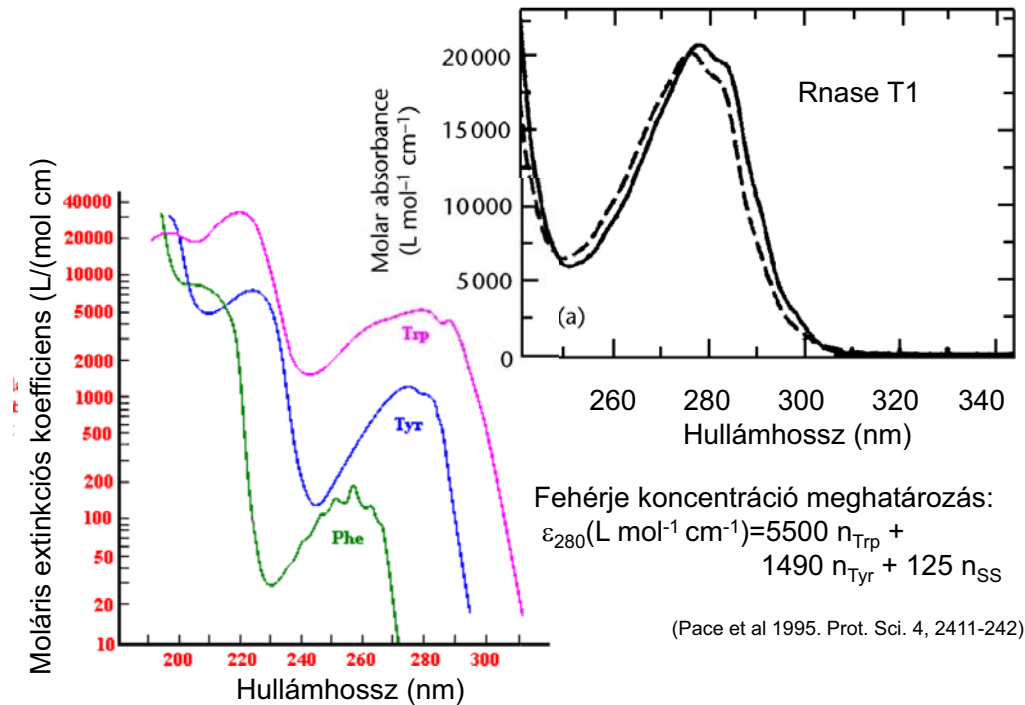
Mi abszorbeál a fehérjékben?

Molekularész	$\lambda_{\max}(\text{nm})$	$\varepsilon(\text{L}/\text{cm mol})$
Trp	280	5600
Tyr	274	1400
Phe	257	200
Diszulfid híd	250-270	300
Peptidkötés	190-230	

Fehérje koncentráció meghatározás:

$$\varepsilon_{280}(\text{L mol}^{-1}\text{cm}^{-1}) = 5500 n_{\text{Trp}} + 1490 n_{\text{Tyr}} + 125 n_{\text{SS}}$$

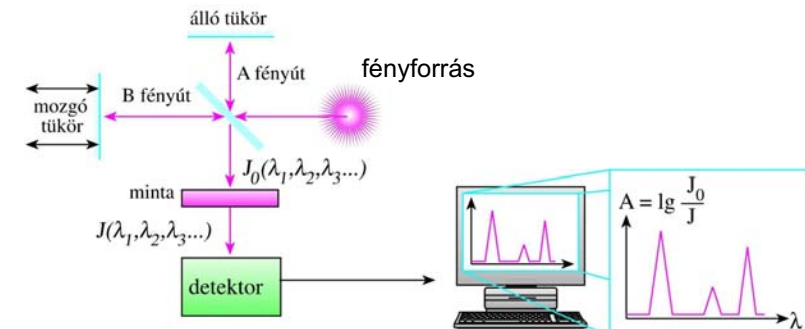
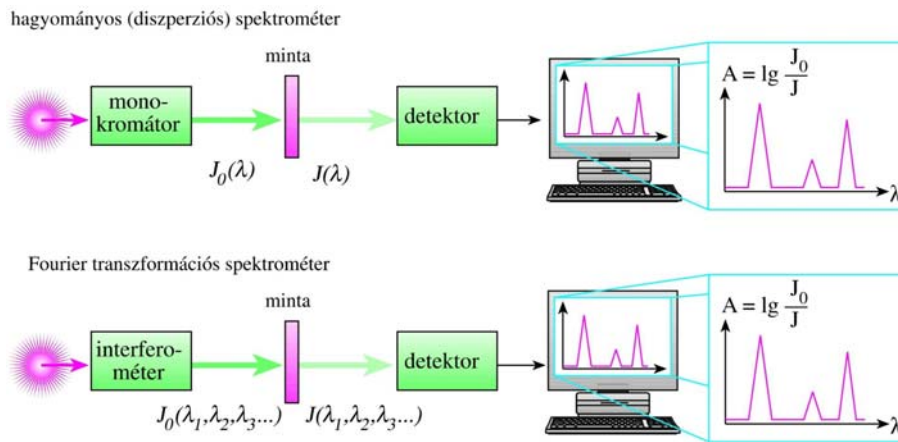
(Pace et al 1995. Prot. Sci. 4, 2411-242)



Infravörös spektroszkópia

- Infravörös fény: $\lambda=800 \text{ nm} - 1 \text{ mm}$
közép infra tartomány: $2,5-50 \mu\text{m}$
- abszorpciós spektroszkópia
- az elnyelt infravörös sugárzás molekularezgéseket kelt
- érzékeny a molekulaszerkezetre
- speciális detektálás: FT spektrométer
(FTIR spektroszkópia)

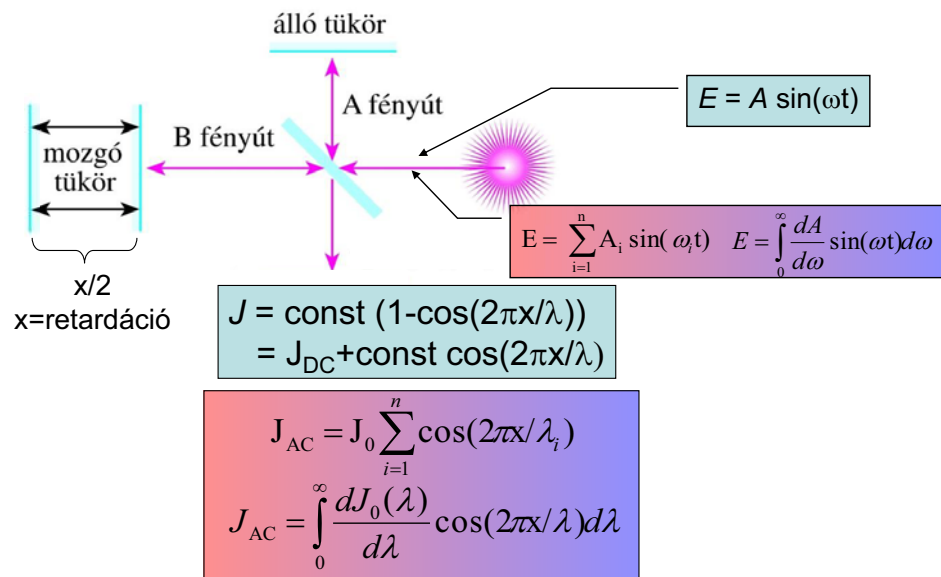
Az infravörös spektrum mérése: Fourier transzformációs spektrométer



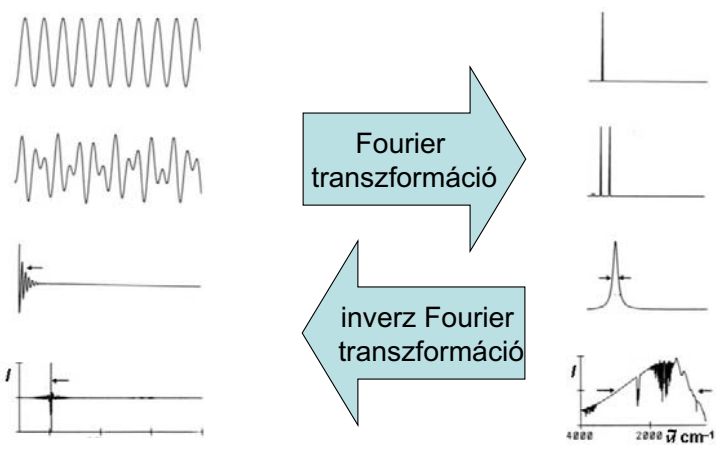
tk 6.17 ábra

tk 6.18 ábra

FTIR elve részletesen



A Fourier transzformáció szemléltetése



Fourier transzformáció

Egy $f(t)$ függvény Fourier transzformáltja a $g(x)$ függvény:

$$F(f(t)) = \int_{-\infty}^{\infty} f(t) e^{-2\pi i v t} dt = g(v)$$

A Fourier transzformáció inverze:

$$F^{-1}(g(v)) = \int_{-\infty}^{\infty} g(x) e^{2\pi i v t} dv = f(t)$$

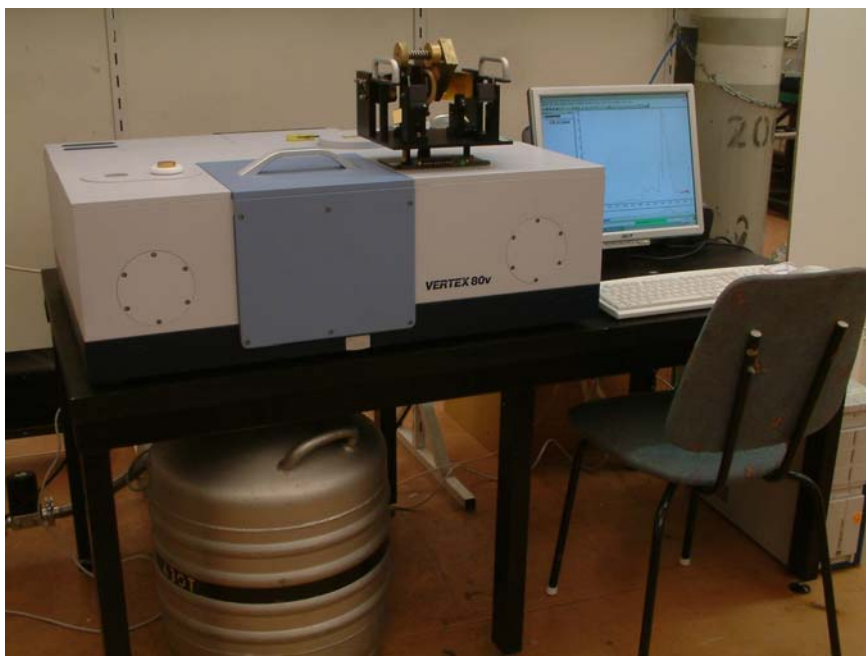
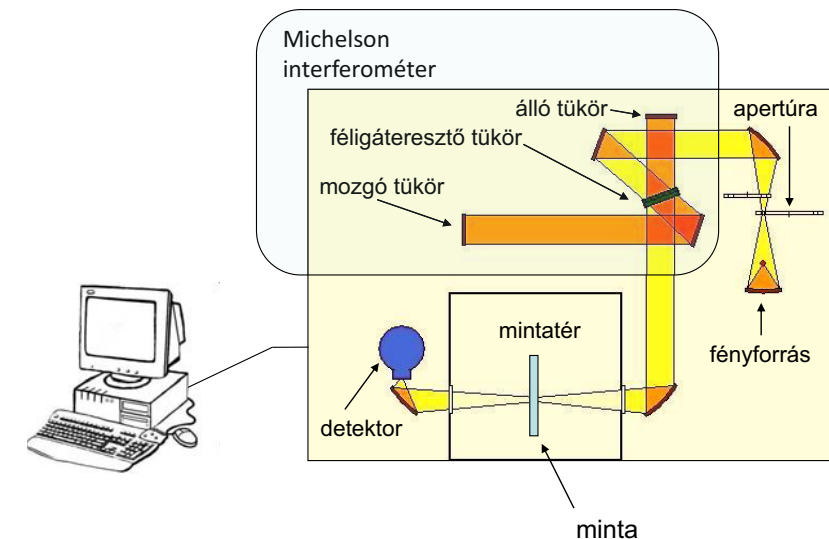
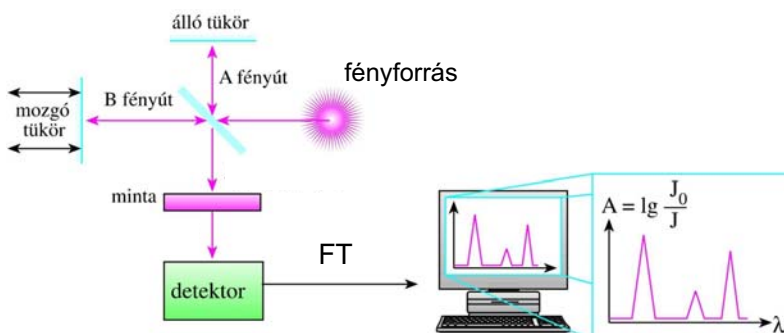
A spektrum számolása a Fourier transzformációs spektrométerben

Az interferométeren keresztüljutott sugárzás:

$$J_{AC} = \int_0^{\infty} \frac{dJ_0(\lambda)}{d\lambda} \cos(2\pi x/\lambda) d\lambda$$

éppen a $\frac{dJ_0(\lambda)}{d\lambda}$ mennyiség cosinus transzformáltja

A spektrum a $\frac{dJ_0(\lambda)}{d\lambda}$ -nek a mintán való áthaladása után megmaradt részének és a $\frac{dJ_0(\lambda)}{d\lambda}$ -nak a hányadosa (transzmissziós spektrum)

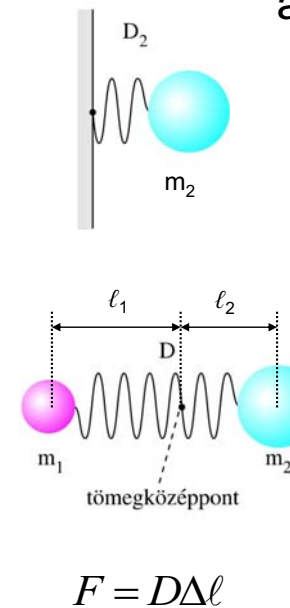
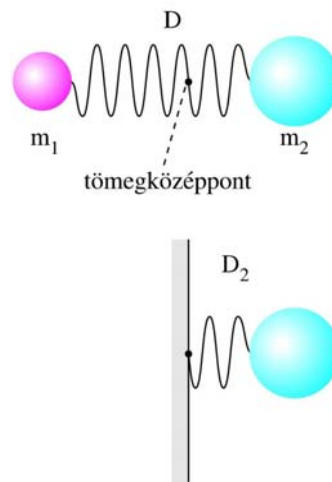
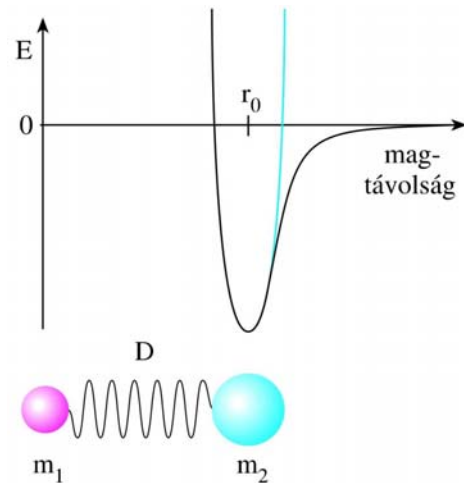


Molekularezgések

Az elektronok könnyűek, gyorsan követik az atommag mozgását, ezért az atommagok rezgései az elektronok nem befolyásolják.

A klasszikus fizikai leírásban az atommagok közti kötést, egy rugóval vesszük figyelembe.

Molekularezgések: kétatomos molekula



a középiskolából ismert:

$$f = \frac{1}{2\pi} \sqrt{\frac{D_2}{m_2}}$$

$$\frac{m_2}{m_1} = \frac{\ell_1}{\ell_2} = \frac{\Delta\ell_1}{\Delta\ell_2}$$

$$\frac{m_1 + m_2}{m_1} = \frac{\ell_1 + \ell_2}{\ell_2} = \frac{\ell}{\ell_2} = \frac{\Delta\ell}{\Delta\ell_2} =$$

$$= \frac{F/D}{F/D_2} = \frac{D_2}{D}$$

$$F = D\Delta\ell$$

tehát: $\frac{m_1 + m_2}{m_1} = \frac{D_2}{D}$, amit az $f = \frac{1}{2\pi} \sqrt{\frac{D_2}{m_2}}$

A hullámhossz:

$$\lambda = \frac{c}{f} = 2\pi c \sqrt{\frac{m_{\text{redukált}}}{D}}$$

Az infravörös spektroszkópiában a λ reciprocát, a hullámszámot (ν) használják:

$$\nu = \frac{1}{\lambda} = \frac{1}{2\pi c} \sqrt{\frac{D}{m_{\text{redukált}}}}$$

ν : hány hullám fér el egységnyi hosszúságon? [cm⁻¹]

Példa: CO

A mért rezgési hullámszám: $\nu = 2143 \text{ cm}^{-1}$
 $\Rightarrow \lambda = 4,67 \mu\text{m} \Rightarrow f = 6,43 \cdot 10^{13} \text{ Hz}$
 $m_C = 2 \cdot 10^{-26} \text{ kg}, m_O = 2,7 \cdot 10^{-26} \text{ kg}$ } $\Rightarrow D = 1875 \text{ N/m}$

Ha ν ismert, D számolható
 ha D ismert, ν számolható

egyenletbe helyettesítve a rezgési frekvencia:

$$f = \frac{1}{2\pi} \sqrt{\frac{D(m_1 + m_2)}{m_1 m_2}}$$

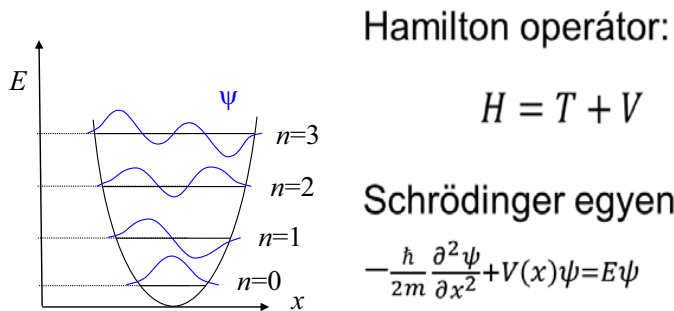
az $m_{\text{redukált}} = \frac{m_1 m_2}{m_1 + m_2}$ mennyiséget redukált tömegnek is nevezik, ezzel a frekvencia:

$$f = \frac{1}{2\pi} \sqrt{\frac{D}{m_{\text{redukált}}}}$$

Kvantummechanikai leírás

Kvantummechanikai oszcillátor:

Tömegpont parabolikus erőterben.



Hamilton operátor:

$$H = T + V$$

Schrödinger egyenlet:

$$-\frac{\hbar^2}{2m} \frac{\partial^2 \psi}{\partial x^2} + V(x) \psi = E \psi$$

$$E_n = hf(n + \frac{1}{2}) \quad n = 0, 1, 2, \dots$$

A rezgési frekvencia függése a tömegtől és a kötéserősségtől

Tömeg:

Infravörös rezgési frekvenciák (cm^{-1})

B-H 2400	C-H 3000	N-H 3400	O-H 3600	F-H 4000
Al-H 1750	Si-H 2150	P-H 2350	S-H 2570	Cl-H 2890
Ge-H 2070	As-H 2150	Se-H 2300		Br-H 2650

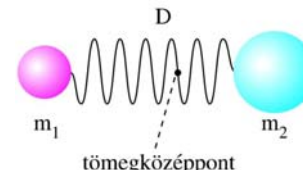
Víz (O-H): 3600 \Rightarrow nehézvíz: 2600 cm^{-1}

Kötéserősség:

- C-N: 1100 cm^{-1} ,
- C=N: 1660 cm^{-1} ,
- C≡N: 2220 cm^{-1} .

Klasszikus fizikai rezgések és energianívók kapcsolata

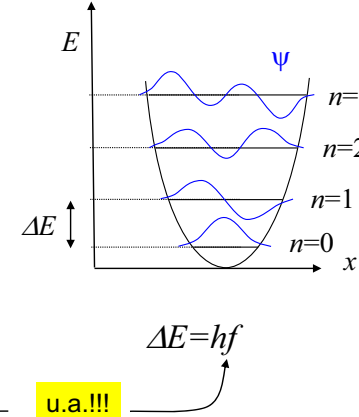
Klasszikus kép



$$f = \frac{1}{2\pi} \sqrt{\frac{D}{m_{\text{redukált}}}}$$

rezonancia az f frekvenciájú fénnel

Energianívók



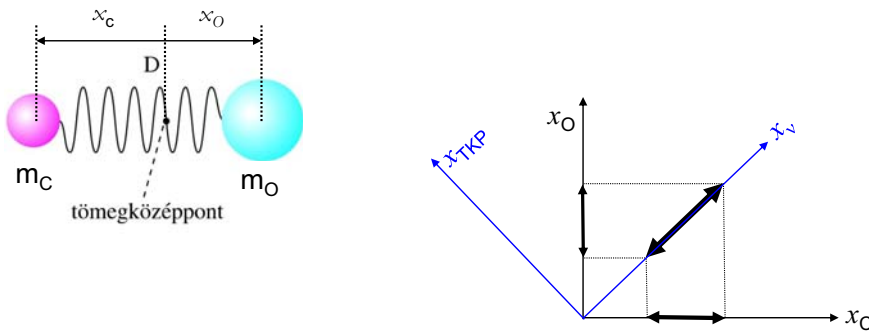
Sokatomos molekulák rezgései

N atomos molekula:

- $3N$ szabadsági fok, 3-3 a teljes molekula transzlációja ill. rotációja
- $3N-6$ rezgési szabadsági fok (lineáris molekuláknál csak $3N-5$)
- normálrezgések
- normálkoordináták

Normálkoordináták

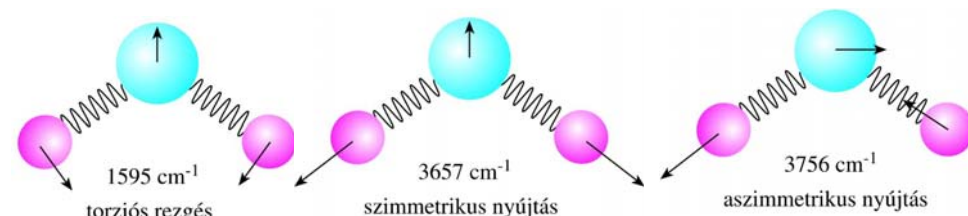
A kétatomos molekula példáján bemutatva:



Általános esetben $3N$ dimenziós koordinátarendszer forgatása
Lineáris transzformáció (mátrixművelet)

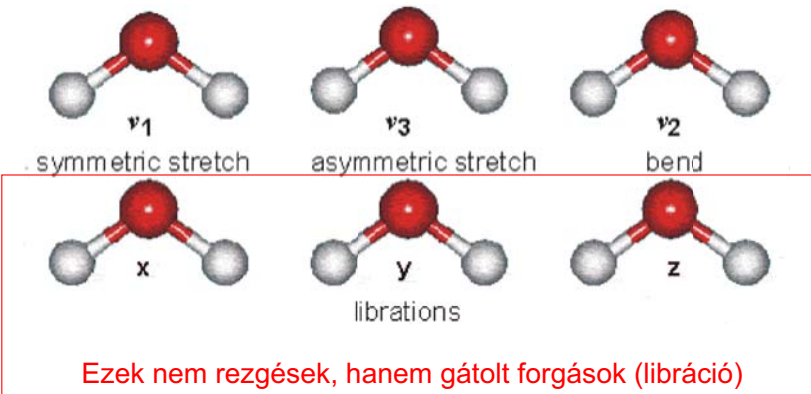
Normálrezgések

- Minden atom ugyanazzal a frekvenciával, fázissal, de különböző amplitúdóval és irányban rezeg.
- Pi. víz:

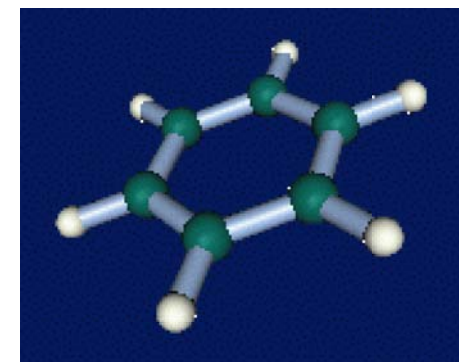


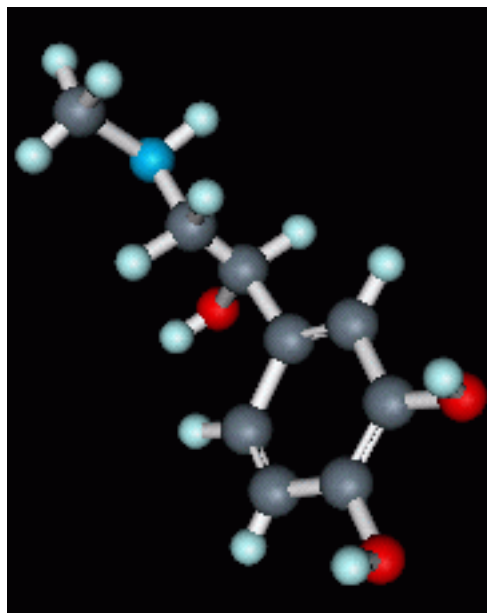
A normál módusok nem hatnak kölcsön egymással.

A víz normálrezgései

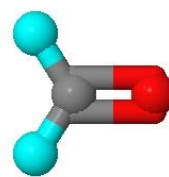
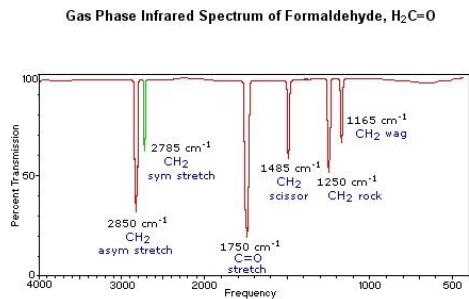


Benzol





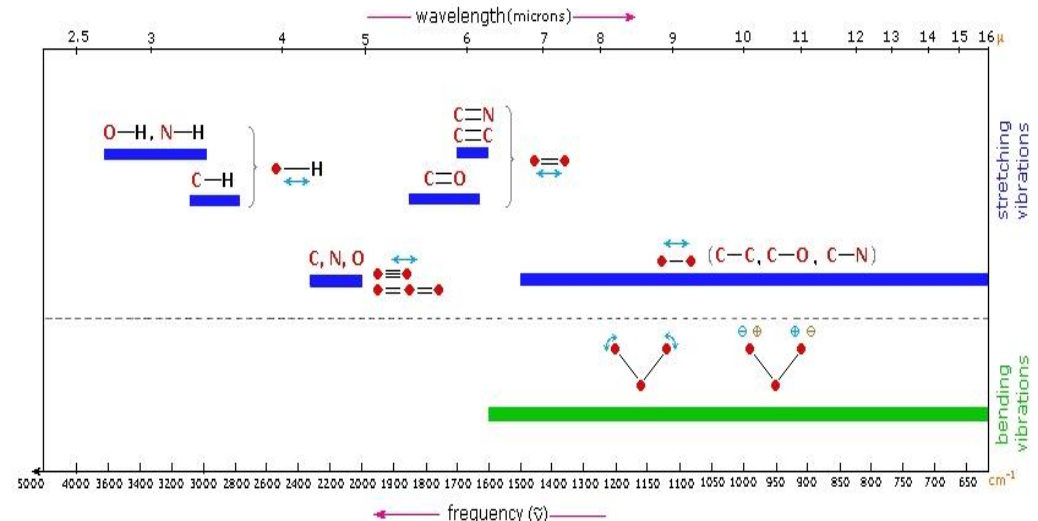
Példa: Formaldehid



- View CH₂ Asymmetric Stretch
- View CH₂ Symmetric Stretch
- View C=O Stretch
- View CH₂ Scissoring
- View CH₂ Rocking
- View CH₂ Wagging

- Ball&Stick Model
- Spacefill Model
- Stick Model
- Motion Off

Néhány tipikus rezgési frekvencia

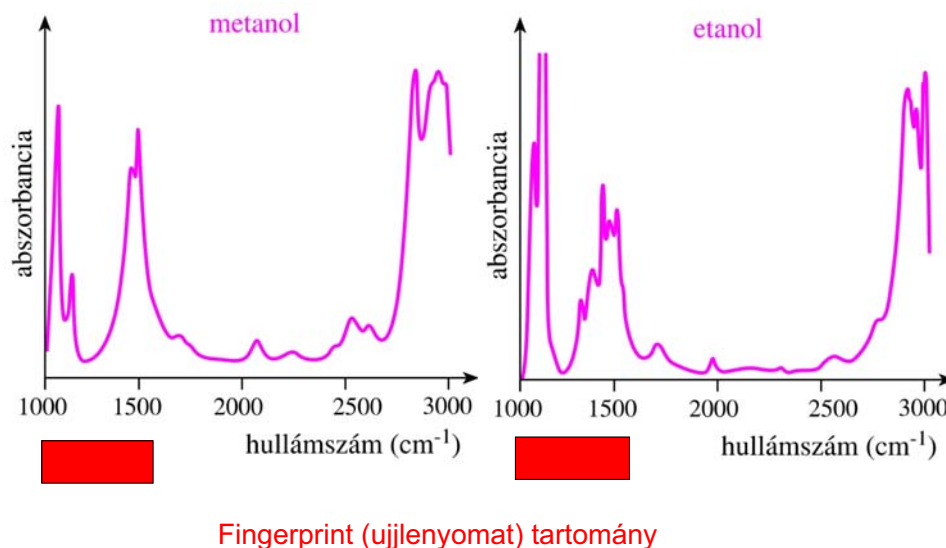


Analitikai alkalmazások

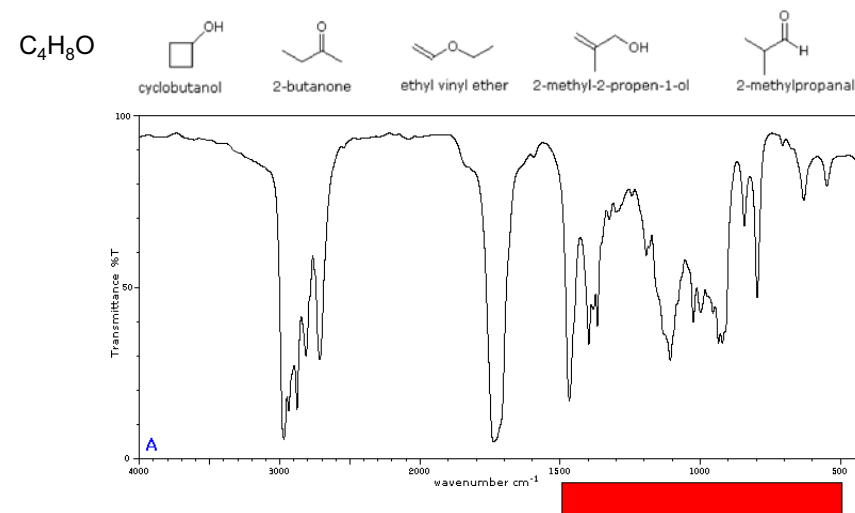
- szintézis: közti és végtermék azonosítás
- szerkezet bizonyítás
- metabolit kimutatás
- gyógyszerellenőrzés (tisztaság vizsgálat)

- Megj.: Lambert-Beer tv. itt is igaz, koncentráció meghatározás is lehetséges.

Molekula azonosítás



molekula azonosítás



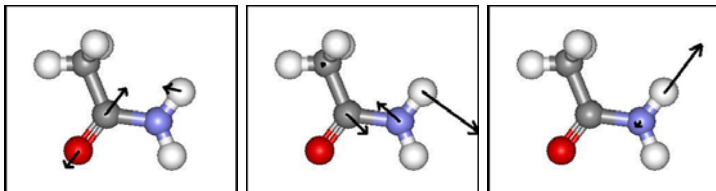
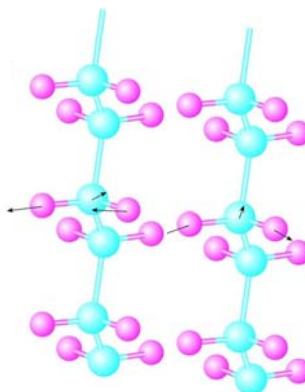
forrás: <http://www2.chemistry.msu.edu/faculty/reusch/VirtTxtJml/Spectrpy/InfraRed/infrared.htm>

Makromolekulák rezgései

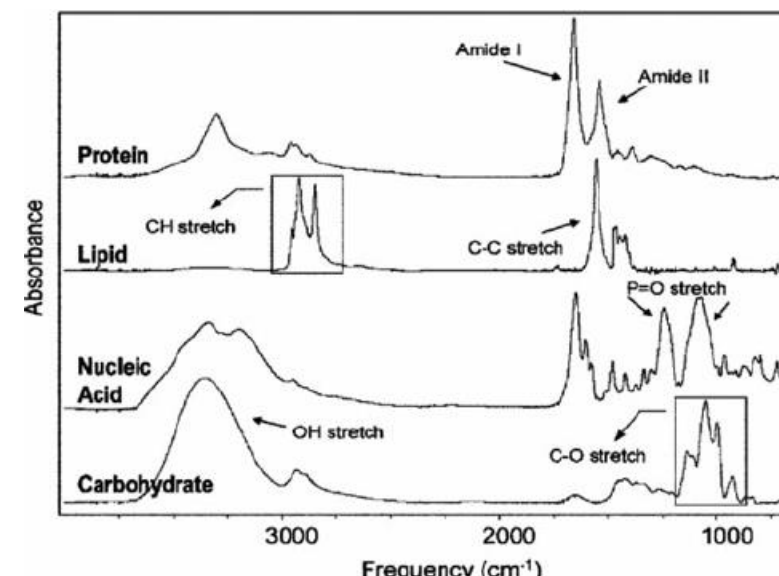
Globális rezgések (bonyolultak)

Lokalizált rezgések, pl:

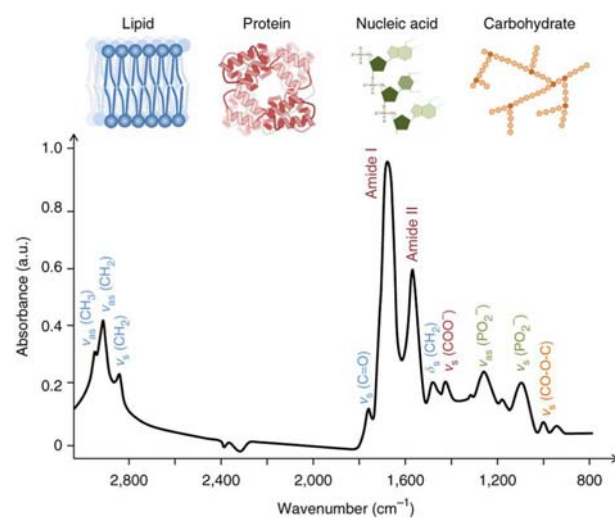
- CH₂ rezgések a lipidekben
- amid rezgések a fehérjékben
(acetamid rezgések)



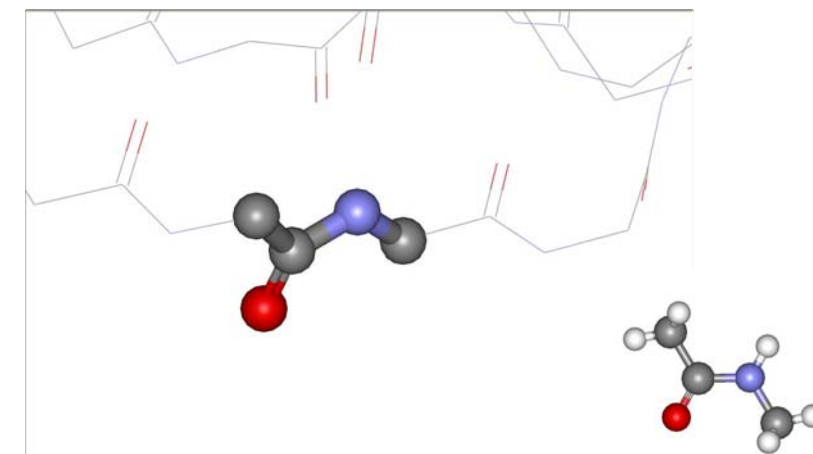
A biológiai makromolekulák tipikus infravörös spektrumai



A sejt infravörös spektruma



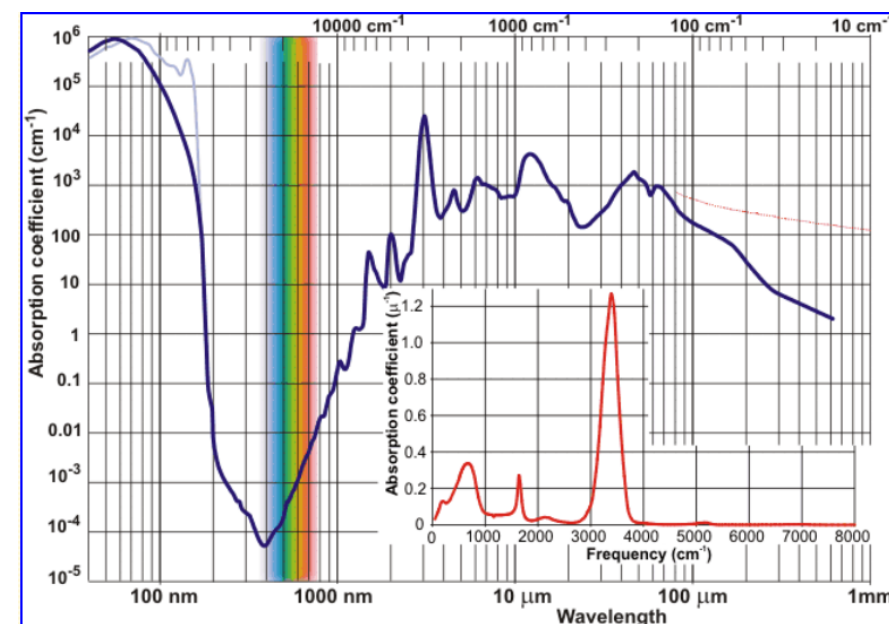
Fehérjék: Az N-metilacetamid mint a fehérjelánc gerincének modellje



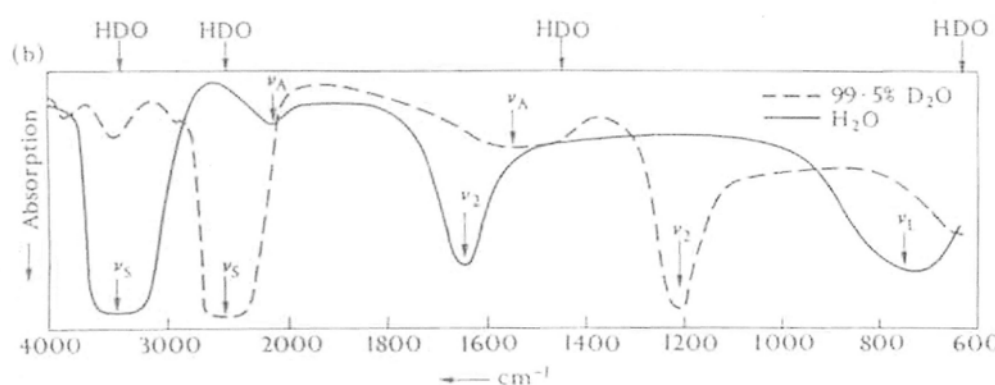
Fehérjék rezgési spektroszkópiája

- Gerinc: amid rezgések
 - konformáció (másodlagos szerkezet)
 - H/D csere, (harmadlagos szerkezet)
- Oldalláncok
 - kölcsönhatások más molekulákkal
 - pl Ca²⁺ kötés
- Fontos technikai megj.: nehézvíz (D₂O)

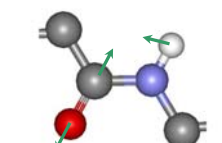
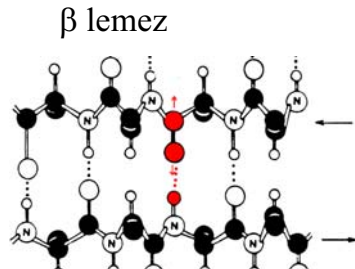
A víz abszorpciós spektruma



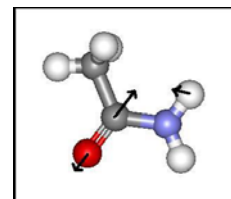
Víz és nehézvíz spektrumok



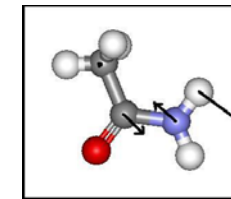
Az amid I vibráció és
a másodlagos
szerkezet



A fehérjék amid rezgései



amid I
C=O rezgés
H-híd miatt
konformáció-
érzékeny



amid II
N-H deformációs rezgés
(síkbeli hajlítás)
H-D cserére érzékeny
Szerkezet kompaktsága
(harmadlagos szerk.)

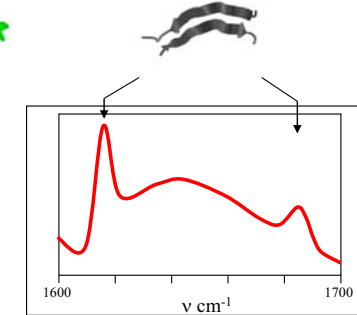
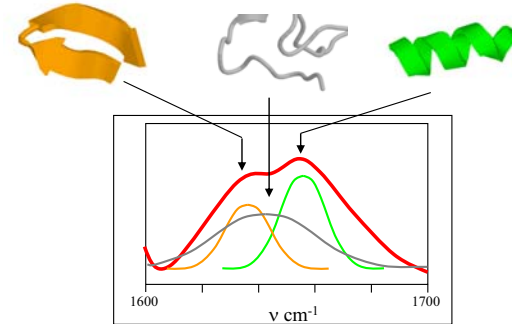
A másodlagos szerkezeti elemekhez tartozó jellegzetes amid I jel

Intramolekuláris szerkezet

β -lemez rendezetlen

Intermolekuláris kölcsönhatás

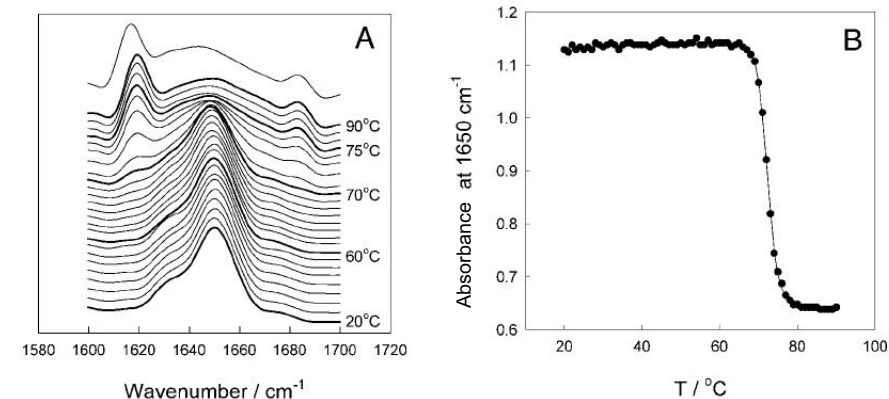
Intermolekuláris antiparallel β -lemez



Alkalmazások: Fehérjedenaturáció

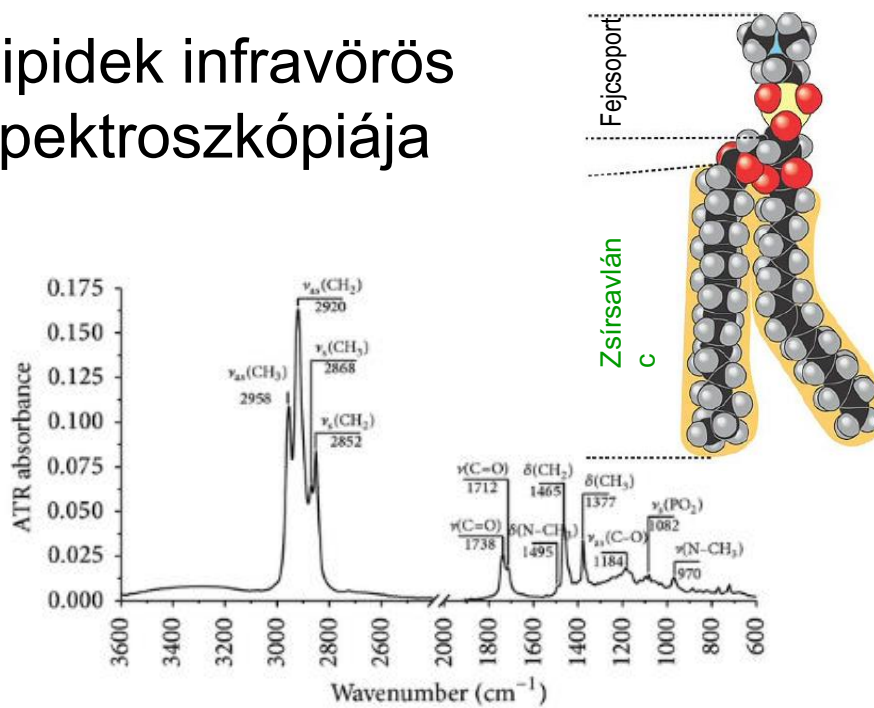
Az amid I sáv komponenseinek hozzárendelése a másodlagos szerkezeti elemekhez ¹Byler és Susi (1986), ² Haris és Chapman, 1988, ³ Ismail és mtsai, 1992 alapján)

hullámszám [cm ⁻¹]	másodlagos szerkezet
1616	intermolekuláris béta szerkezet ³
1624-1637	kinyújtott láncok (béta szerkezet) ¹
1645	rendezetlen ¹
1654	alfa hélix ¹
1662	3 ₁₀ helix ²
1663-1670	hajlatok, hurkok ¹
1675	kinyújtott láncok (béta szerkezet) ¹
1683-1694	hajlatok, hurkok ¹
1685	intermolekuláris béta szerkezet ³

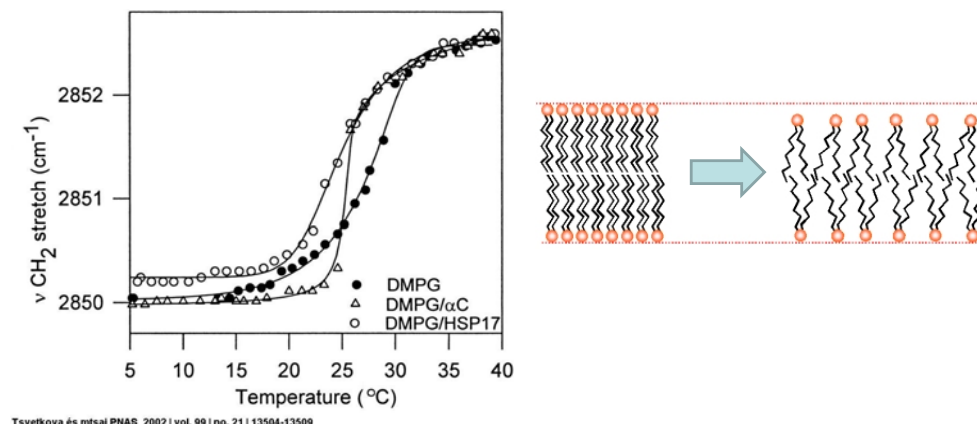


Meersman és mtsai. Biophys J.

Lipidek infravörös spektroszkópiája

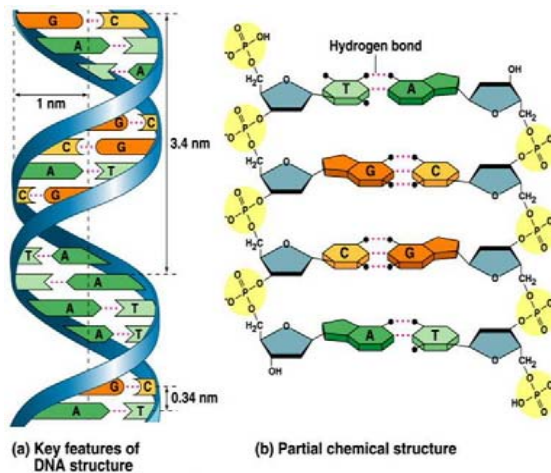


Alkalmazások: lipid fázisátalakulás

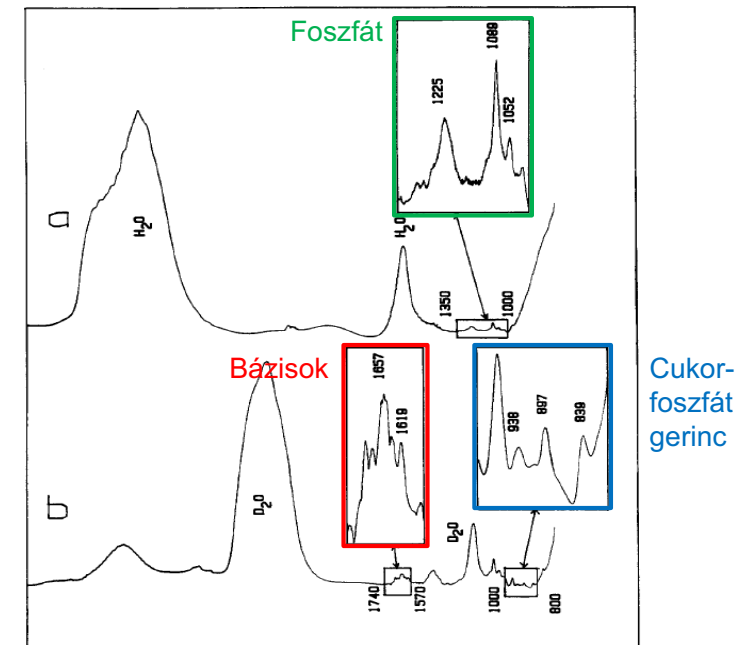


Tsvetkova és mtsai PNAS 2002 | vol. 99 | no. 21 | 13504-13509

Nukleinsavak



DNS



DNA, RNA A és B szerkezetek

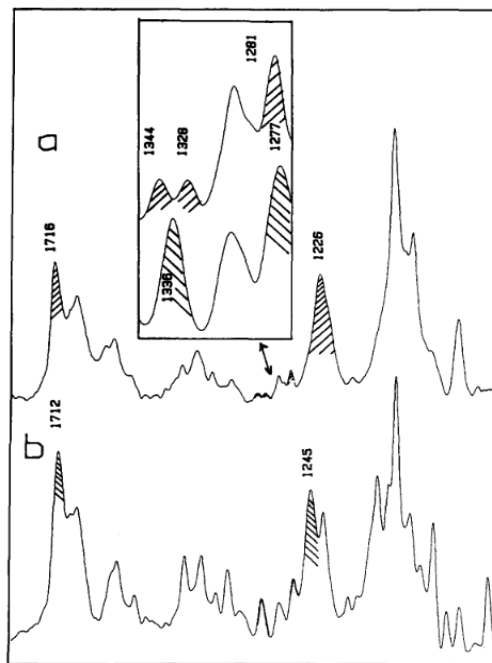
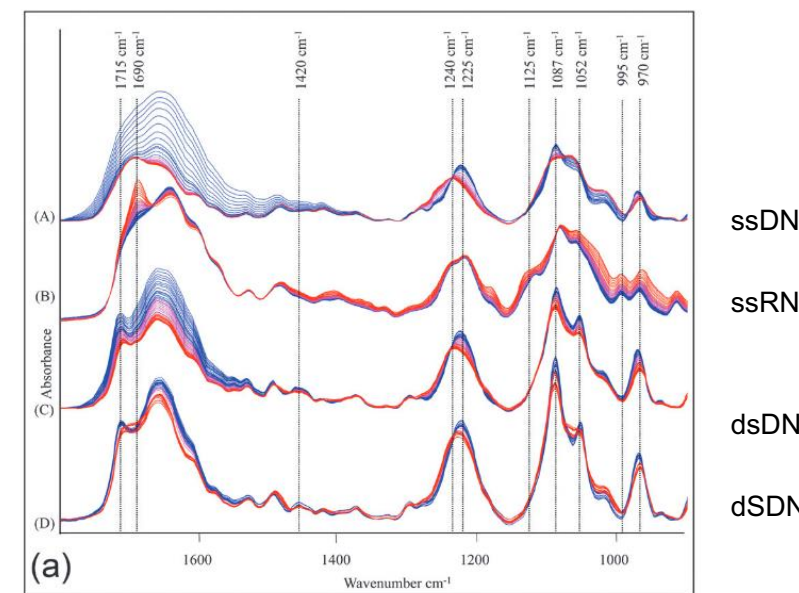


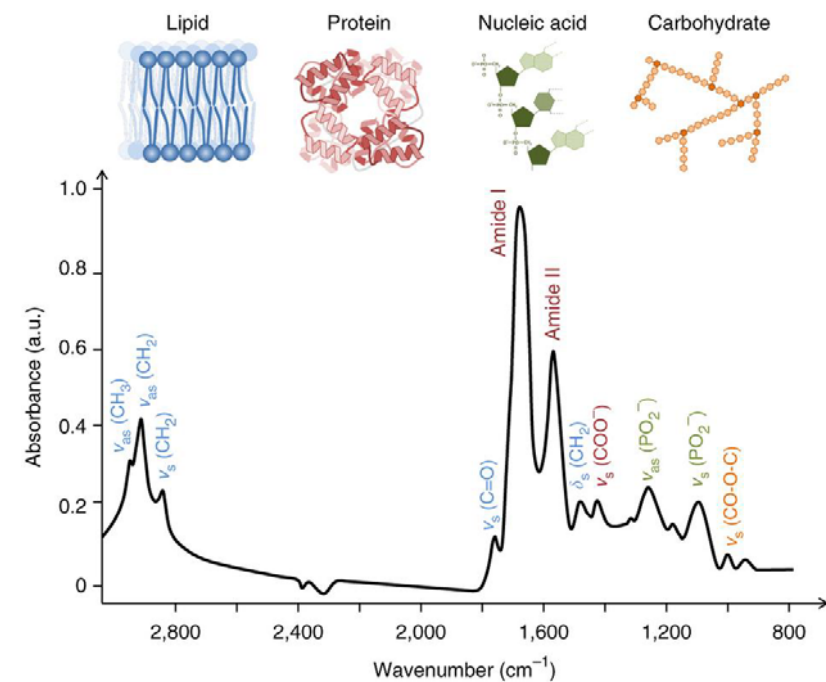
FIG. 3. FT-IR spectra of H_2O solutions of $d(\text{A}-\text{U})_n$ (a) and $r(\text{A}-\text{U})_n$ (b). The enlarged area between 1350 and 1270 cm⁻¹ shows absorptions characteristic of A (\\\\\\\\\\) and B (\\\\\\\\) geometries.

Nukleinsavak:

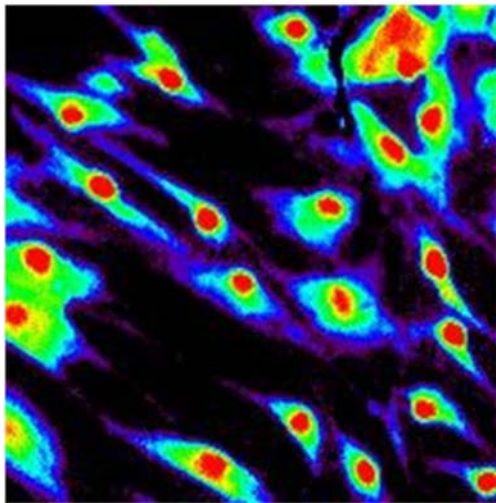


ssDNA
ssRNA
dsDNA
dSDNA

Speciális IR módszerek: IR Mikroszkóp



Nature Protocols 9, 1771–1791 (2014) | doi:10.1038/nprot.2014.110

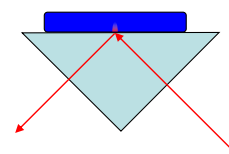
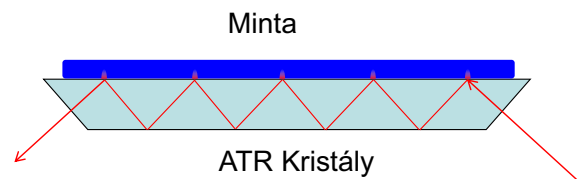


dermal fibroblasts imagined at
 1224 cm^{-1}

Hordozható FTIR spektrométer

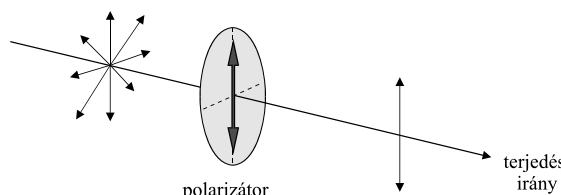


ATR technika (Attenuated Total Reflection)

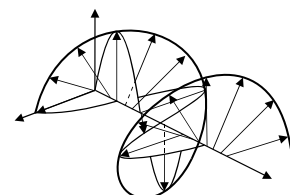


Poláros fény

Síkban poláros:



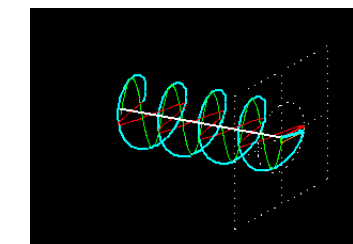
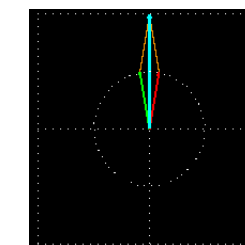
Cirkulárisan poláros



CD

- Cirkuláris dikroizmus spektroszkópia

lin. pol =
jobbra+
balra cirk. pol.



A CD spektrométer vázlatá

A jobbra és balra forgó cirkulárisan polarizált fénysugarakkal a királis molekulák különbözőképpen hatnak kölcsön:

$$\Delta A = A_L - A_R = \Delta \varepsilon c x$$

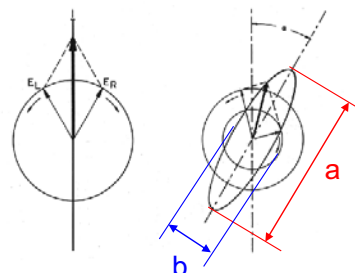
$$\Delta \varepsilon = \varepsilon_L - \varepsilon_R$$

$$\text{Ellipticitás: } \theta \quad \tan \theta = b/a$$

$$\theta = \frac{2.303}{4} \cdot (A_L - A_R) \cdot \frac{180}{\pi} \quad [\text{deg}]$$

$$\text{Lambert-Beer tv.:} \quad \theta = c \cdot l \cdot \theta_m$$

(θ_m : moláris ellipticitás)



CD és a fehérjeszerkezet

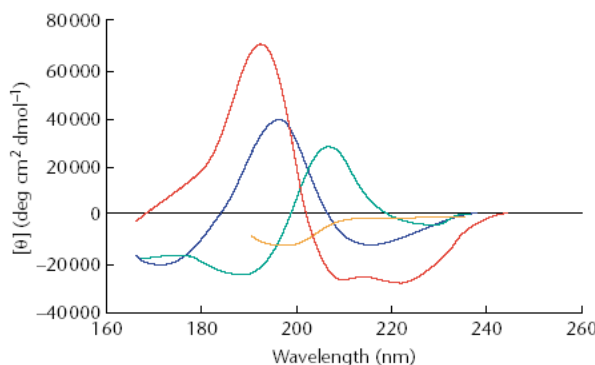
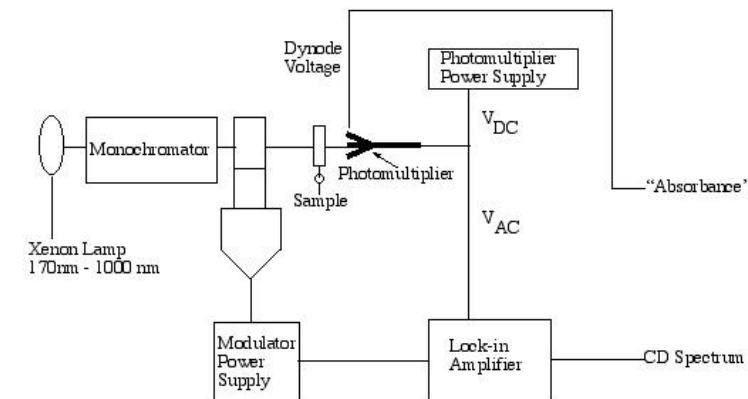


Figure 4 The far-UV CD spectra associated with various types of secondary structure elements in proteins. Red: α -helix; blue: antiparallel β -sheet; green: type I β -turn; orange: irregular structure. (Data taken from the Encyclopedia of Life Sciences)



A) triosephosphate isomerase

B) hen egg lysozyme

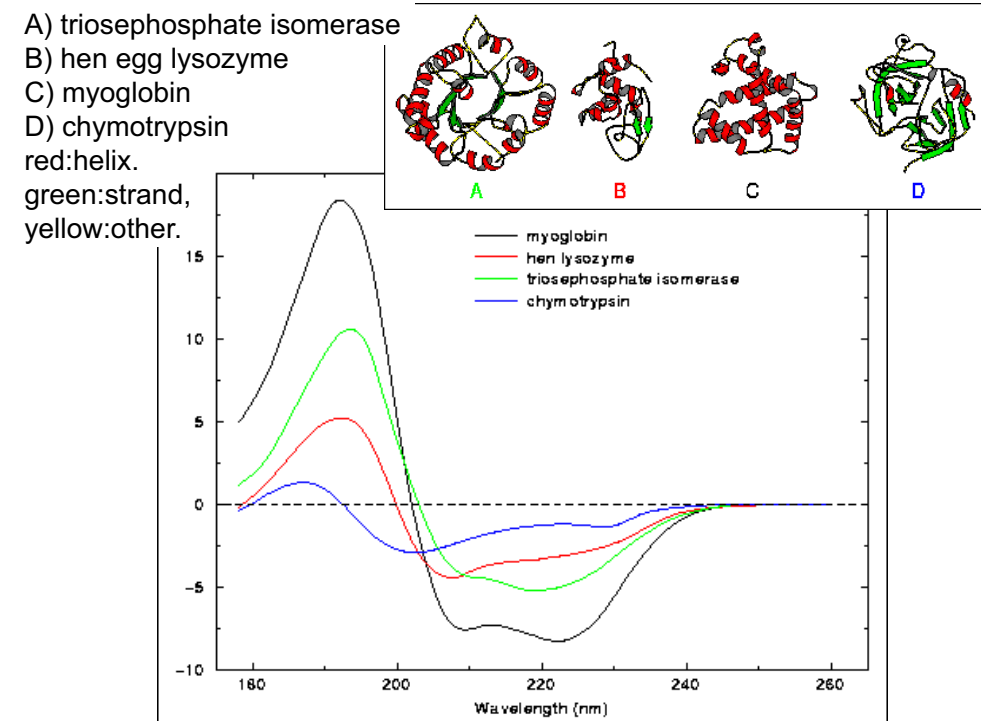
C) myoglobin

D) chymotrypsin

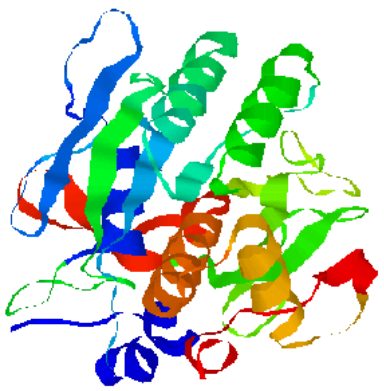
red: helix.

green: strand,

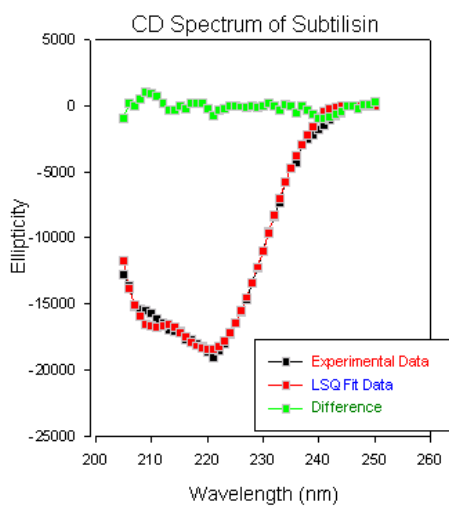
yellow: other.



The Structure and CD spectrum of Subtilisin



helix sheet coil
57.92 26.22 15.85



Vége